

副热带东亚季风区一次穿透性对流过程影响下平流层成分变化的个例分析

孙宁¹ 周天军^{1,2} 郭准^{3,1} 李普曦¹

(1. 中国科学院大气物理研究所大气科学和地球流体力学数值模拟国家重点实验室, 北京 100029; 2. 中国科学院大学, 北京 100049; 3. 中国科学院气候变化研究中心, 北京 100029)

摘要 穿透性对流是导致北半球夏季平流层低层南亚高压内水汽极值形成的重要机制之一, 关于副热带东亚季风区穿透性对流是否对平流层低层水汽等物质分布存在影响目前尚不清楚。本文选取 2016 年的武汉暴雨事件, 采用 Cloudsat 和 Aura Microwave Limb Sounder 数据, 分析了东亚季风区的穿透性对流活动对上对流层/下平流层物质分布的影响。利用 CloudSat 卫星资料云分类产品和 Aura MLS 卫星数据联合分析, 在武汉暴雨过程中捕捉到 1 次穿透性对流事件, 它发生于 7 月 4 日 05 时的穿透性对流个例 B, 中心位于海上梅雨带区域。分析表明, 这次对流穿透事件对上对流层/下平流层物质分布有显著影响, 穿透性对流活动影响到对流层顶以上的物质分布, 具体表现是: 首先, 穿透性对流显著减少了局地对流层顶附近的臭氧含量, 较之气候态对流层顶臭氧含量偏少 32.53%。其次, 穿透性对流能够增加局地对流层顶附近的水汽混合比含量, 它通过更多的云冰粒子蒸发来增强局地平流层水汽含量, 同时通过更强的垂直水汽输送来直接加湿平流层。穿透性对流事件 B 对水汽变化影响较之对臭氧含量变化的影响更为显著, 它使得对流层顶水汽混合比增加近乎一倍 (98.15%)。因此, 副热带东亚季风区的穿透性对流活动对于对流层向平流层的物质输送起着重要的作用。

关键词 东亚季风区 穿透性对流 物质输送 上对流层/下平流层

收稿日期: 2020 年 6 月 28 日 网络预出版日期:

¹作者简介: 孙宁, 女, 1992 年生, 硕博联读研究生, 主要从事气候模拟和季风研究。E-mail: sunning@lasg.iap.ac.cn.

资助项目: 中国科学院“国际伙伴计划-国际大科学计划培育专项”项目 (No. 134111KYSB20160031)、国家自然科学基金 (41775091)

通讯作者: 周天军, 男, 1969 年生, 山东龙口人, 研究员, 主要从事气候模拟、海气相互作用和季风变化研究。E-mail: zhoutj@lasg.iap.ac.cn.

24 文章编号

25 Doi: 10.3878/j.issn.1006-9895.2006.19148

26



27 **Impacts of An Overshooting Deep Convection over subtropical
28 Asian Monsoon region on the Lower Stratospheric Atmospheric
29 Composition Distribution**



30 SUN Ning¹, ZHOU Tianjun^{1,2}, GUO Zhun^{3,1}, LI Puxi¹

31 *1 State Key Laboratory of Numerical Modeling for Atmospheric Sciences and Geophysical Fluid
32 Dynamics, Institute of Atmospheric Physics, Chinese Academy of Sciences, Beijing 100029, China*

33 *2 University of Chinese Academy of Sciences, Beijing 100049, China*

34 *3. Climate Change Research center, Chinese Academy of Sciences, Beijing 100029, China;*

35 **ABSTRACT**

36 The rapid transport by the overshooting deep convection is essential for summertime
37 water vapor maxima in the lower stratosphere over the Asian monsoon region. However,
38 the impacts of overshooting deep convection over subtropical Asian monsoon region on
39 the lower stratospheric atmospheric composition distribution have not been fully addressed.

40 In this study, we investigate the characters of overshooting deep convections during 2016

41 Wuhan rainstorm by using CloudSat and Aura Microwave Limb Sounder (MLS) satellite

42 data. The concentrations of water vapor (H_2O), ice water content (IWC), ozone (O_3) in the

43 upper troposphere/lower stratosphere during overshooting deep convections are analyzed.

44 We find one overshooting deep convection case B which occurred at 5:00 a.m. on July 4.

45 The overshooting convection considerably reduces the ozone mixing ratio near the
46 tropopause. For example, it leads to 32.53% decreases of the climatological mean ozone
47 mixing ratio. The overshooting convection is further found to enhance the moisture at the
48 lower subtropical stratosphere through the hydrating effect which has two different ways:
49 moistening induced by ice particles evaporation and by the convective moisture flux itself.
50 The overshooting convection results in a stronger moisture change (about 98.15% increase
51 of climatology) when compared with ozone change. Our study implies that the local
52 overshooting convections over subtropical Asian Monsoon region in boreal summer are
53 important in transporting water vapor from the troposphere into the low stratosphere.

54
55 **Key words:** Subtropical Asia Monsoon, overshooting deep convection, composition
56 transportation, upper troposphere/lower stratosphere



58 1. 引言

59 水汽是一种比 CO₂ 温室效应更强的气体 (Forster and Shine, 2002; Khaykin et al.,
 60 2009), 它在平流层中为光化学反应提供氢氧自由基, 在凝成冰晶后还能为 O₃ 的变
 61 化提供非均相化学反应界面(Salomon, 1999), 这些过程都能够对气候产生显著影响。
 62 前人研究指出, 夏季(6-8月)在北半球上对流层/下平流层仅存在两个水汽极值中
 63 心, 分别是北美季风区水汽中心和亚洲季风区水汽中心, 其中后者的强度更强
 64 (Randel et al., 2015)。在大尺度环流输送的作用下, 大气高层的水汽极值中心能够
 65 影响到整个地球系统的水循环乃至气候变化(Ploeger et al., 2013)。

66 亚洲季风区水汽中心5月建立, 并在北半球盛夏达到峰值 (Rosenlof et al., 1997;
 67 Randel et al., 2001; Dessler and Sherwood, 2004; Gettelman et al., 2004; Milz et al., 2005;
 68 Park et al., 2007; James et al., 2008; Randel et al., 2015; Kunze et al., 2016)。亚洲季风水
 69 汽中心横跨热带和副热带地区, 涵盖了中国东部的大部分区域和邻近海域 (Randel et
 70 al., 2015)。亚洲季风区水汽中心的产生机制有两种: 一是大气的大尺度运动将水汽
 71 输送到副热带平流层“喷泉区域”脱水 (Li et al., 2005; Park et al., 2007; Randel et al.,
 72 2006; Randel et al., 2015; Konopka et al., 2010); 二是由穿透性对流 (overshooting deep
 73 convection) 快速地将水汽直接输送到下平流层 (Danielsen, 1993; Lane et al., 2001;
 74 Wang et al., 2003; Dessler and Sherwood, 2004; Fu et al., 2006; Wang et al., 2009)。第一
 75 种机制认为, 深对流卷出过程的高度不足以直接将水汽从边界层输送到对流层顶
 76 (Folkins and Martin, 2005), 随后大尺度环流会将卷出的水汽准水平地输送到温度较
 77 低的“喷泉区域”, 在低温的作用下空气在卷云层中脱水 (Wang et al., 1996; Holton and
 78 Gettelman, 2001; Read et al., 2004; Jensen and Pfister, 2004; Fueglistaler et al., 2005;
 79 Corti et al., 2006; Randel et al., 2015)。第二种机制认为, 足够强的深对流能够将水汽
 80 直接带入平流层形成“穿透性对流”, 随后通过脱水过程或水合过程进一步影响平流
 81 层水汽分布。这其中的脱水过程是指由于积雨云塔内温度很低, 水汽在平流层凝华
 82 成冰晶掉落, 穿透性对流活动会导致空气脱水变干 (Danielsen, 1993; Sherwood and
 83 Dessler, 2001; Grosvenor et al., 2007; Jensen et al., 2007)。水合过程则依赖深对流过程
 84 深入平流层, 将冰粒子带入平流层, 其中一部分冰粒子将落回对流层, 留在平流层

85 的云滴通过蒸发使平流层水汽增加 (Corti et al., 2008; Chaboureau et al., 2007;
86 Grosvenor et al., 2007; Jensen et al., 2007)。水物质相变的不确定性受环境水汽饱和程
87 度决定 (Jensen et al., 2007)。

88 关于穿透性对流机制的贡献, 前人研究主要集中在亚洲季风区内深对流发生相
89 对频繁、高度最高的热带区域, 如印度半岛和孟加拉湾的季风对流 (Devasthale and
90 Fueglistaler, 2010)、青藏高原和喜马拉雅南坡的大陆性对流等(Fu et al., 2006; Yasunari
91 and Miwa, 2006), 也有个例分析发现西北太平洋热带气旋通过穿透性对流能够输送
92 微量元素 (Zhan and Wang 2012)。对深对流事件的选择依据主要是对流云顶高度的
93 高低 (Fu et al., 2006; Devasthale and Fueglistaler, 2010)。由于对流层向平流层的物质
94 输送需要穿越对流层顶的深对流活动, 故除了深对流高度之外, 还需要考虑对流层
95 顶的高度。实际上, 尽管副热带深对流高度低于热带深对流, 但由于副热带对流层
96 顶高度比热带更低, 而且在东亚夏季风环流的作用下, 这里的对流活动非常频繁,
97 存在对流穿透活动 (傅云飞等, 2008; 刘鹏和傅云飞, 2010; 洗桃, 2014)。因此,
98 有理由推测这里的对流活动可能会对下平流层的大气成分变化产生影响。不过, 相
99 对于针对南亚季风区的大量研究, 当前关于副热带东亚夏季风区对流穿过程与对
100 流层平流层交换的研究较少, 关于卫星雷达资料能否捕捉到东亚季风区穿透性对流
101 活动发生时下平流层水汽等大气成分的变化尚不清楚。本文的目的是利用卫星资料,
102 研究副热带东亚季风区的穿透性对流个例及其对平流层低层水物质、臭氧分布的影
103 响。

104 2016年6月30日00时(UTC)到2016年7月6日6时发生的武汉暴雨事件,
105 过程总降水达584mm, 带来了巨大的财产损失和人员伤亡, 共造成237人死亡, 93
106 人失踪, 经济损失达220亿美元 (Zhou et al., 2018)。这次强降水的产生是由于西南
107 涡的东移以及西北太平洋副热带高压的西移 (张端宇等, 2018)。雨带区域位于高空
108 偏北风急流左侧, 低空偏南风急流前方, 高空水汽辐散和低空水汽辐合相结合, 有
109 利于上升运动的发展, 进而触发不稳定能量释放, 形成强降雨。这次武汉暴雨期间
110 包含了多次深对流过程, 其间有可能发生穿透性对流过程。本文的目的是从这次武
111 汉暴雨事件中选取伴有穿透性对流的暴雨个例, 利用卫星资料, 揭示东亚区域穿透
112 性对流活动对上对流层下平流层物质分布的影响。

113 本文章节安排如下: 第二节主要介绍了本文所用数据和方法; 第三节主要介绍

114 武汉暴雨期间的武汉暴雨期间的环流背景并选取了这期间的穿透性对流事件；第四
115 节具体阐述了穿透性对流引起的上对流层/下平流层成分变化。

116 2. 资料和方法

117 本文用到的卫星资料和再分析资料概括如下：

- 118 1) 2016 年的 CloudSat 卫星资料的 2B-GEOPROF 产品的雷达反射率要素
119 (Stephens et al., 2002)、2B-CLDCLASS 产品的八种类型云(卷云/卷层云、高层云、
120 高积云、层云、层积云、积云、雨层云以及深对流云)要素 (Sassen and Wang, 2008);
121 2) 2005-2016 年的 Aura MLS 卫星资料的水汽混合比、臭氧混合比、云含冰量、
122 温度、冰面相对湿度五种要素 (Livesey et al., 2015);
123 3) ERA-Interim (The interim European Centre for Medium-Range Weather
124 Forecasts Re-Analysis) 再分析资料的位势涡度、垂直速度、温度三种要素 (Simmons
125 et al., 2007; Dee et al., 2011)
126 4) 中国自动站与 CMORPH 融合的降水数据 (潘旸等, 2012; Shen et al., 2014)。

127 CloudSat 是飞行高度为 705km 的太阳同步卫星，轨道面和平均太阳子午线之间的
128 固定倾角为 98.2°。卫星围绕地球一周为一个扫描轨道，时间为 99 分钟。每天环
129 绕地球有 14-15 的轨道。CloudSat 的横轨分辨率为 1.4km，垂直分辨率为 500m。垂
130 直剖面上一共有 125 层，每层厚度为 240m，共对 30km 的大气进行观测。它搭载的
131 遥感探测器是云廓线雷达 CPR(Cloud Profile Radar)，该雷达为 94GHz 毫米波雷达，
132 灵敏度是标准天气雷达的 1000 倍 (马占山等, 2008)。需要说明的是 CloudSat 的雷
133 达通过回波来判断水凝物的存在，特别是对于 drizzle-sized/rain-sized 的粒子和云滴
134 ($D \sim 200 \mu m$)。需要注意 CloudSat 反演时假定云滴和降水的粒径分布满足同一个 PDF，
135 但实际上两者并不完全一致，这一特性也使得其有时候不能有效区分降水和云水。
136 故有降水时一定有雷达回波，但有雷达回波则不一定有降水。若地面有降水时，
137 雷达资料同时存在回波，二者双重认证，则资料更为可信。

138 Aura 也是一颗飞行高度为 705km 的太阳同步卫星，它与 CloudSat 同属于 A-train
139 系列，由于二者距离非常近，它们通过探测地的时间差可以忽略。这一特点非常利
140 于卫星数据的联合使用。微波临边雷达 (Microwave Limb Sounder, 以下简称 MLS)
141 于 2004 年 7 月 15 日发射升空，是搭载在 Aura 卫星上的四个重要探测器之一。MLS

142 完成一次从地表到 90km 高度的扫描需要 24.7 秒，每条廓线沿卫星轨迹的空间间隔
143 为 1.5°(约 165km)，垂直分辨率约为 3km，实现了南北纬 82°之间的准全球覆盖。本
144 文采用的是 MLS v4.2 版本的数据。MLS 的早期版本 v2.2 中上对流层/下平流层的水
145 汽、臭氧等物质含量与气球探空资料的差别一般在 5-20% 之间 (Livesey et al., 2007;
146 Read et al., 2007; Hurst et al., 2014; Livesey et al., 2008)。而新版本 v4.2 修正了之前版
147 本的问题，数据准确性更高 (Livesey et al., 2015)。

148 本文选用的再分析数据 ERA-Interim (Dee et al., 2011) 采用了四维变分同化，
149 并结合改进卫星数据误差校正等技术，数据质量较之前有提升。ERA-Interim 提供了
150 自 1979 年以来每日四次同化分析资料，并且及时更新。它的空间分辨率范围从 0.125°
151 至 2.5°，垂直方向从 1000hPa 到 1hPa 共 37 层。本文用到的 ERA-Interim 的变量是
152 位势涡度，垂直速度和温度。

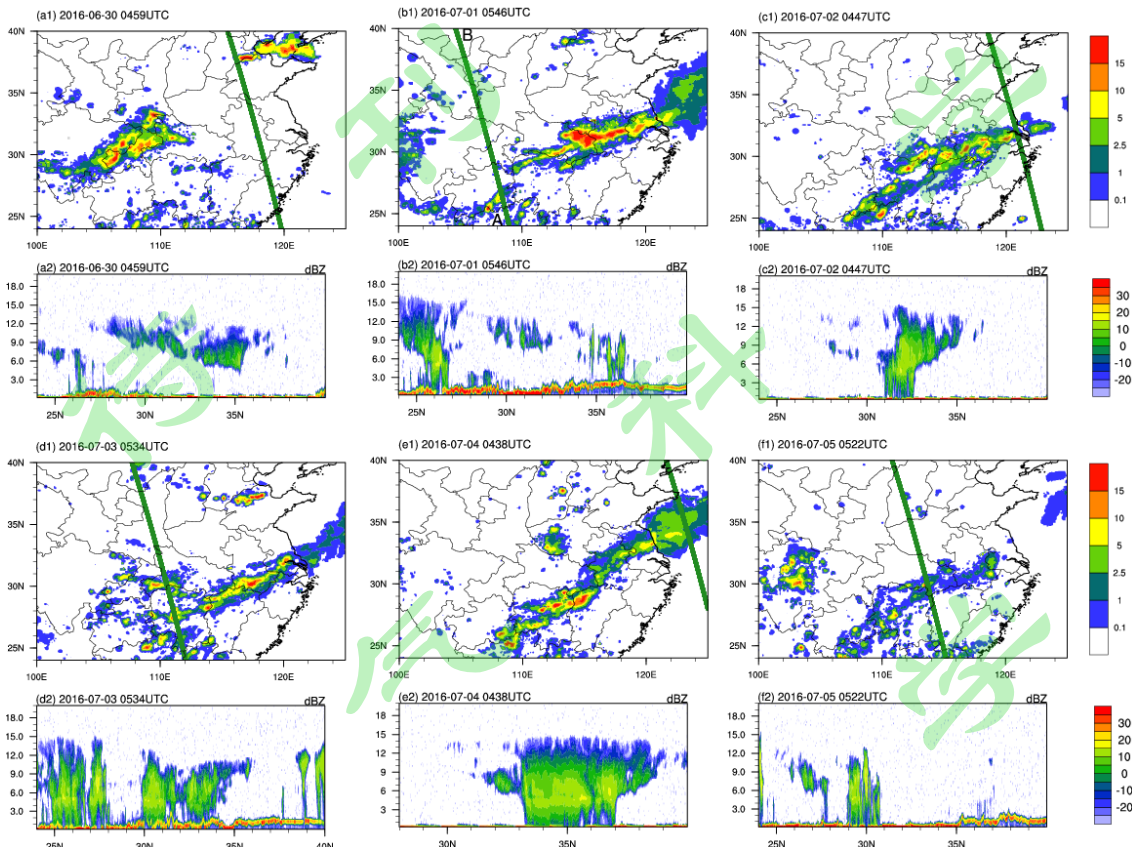
153 降水数据即中国气象局气象信息中心的中国地面自动站与 CMORPH 卫星反演
154 降水资料融合的逐时降水产品 (1.0 版)。时间范围从 2008 年至今，时间分辨率为 1
155 小时，空间分辨率为 $0.1^\circ \times 0.1^\circ$ (潘旸等 2012; Shen et al. 2014)。

156 本文对流层顶的计算采用了 2 种方法，分别是热力学对流层顶和动力学对流层
157 顶。热力学对流层顶依据 1986 年世界气象组织给出的定义 (WMO 1986)，即温度
158 递减率下降至 2°C km^{-1} 或以下的最低高度，而且在此高度以上 2km 气层内的平均温
159 度递减率不超过 2°C k^{-1} 。动力学对流层由位涡 q 来定义：

$$160 \quad q = \frac{(\nabla \times \vec{V}_a) \cdot \nabla \theta}{\rho},$$

161 其中 \vec{V}_a 为绝对速度， θ 为位温， ρ 为密度。对流层顶的定义需满足位涡大于其阈
162 值即 $q > q_c$ ，通常认为 q_c 的选取范围在 1.5~3.5PVU (potential vorticity units, 1 PVU =
163 $10^{-6}\text{m}^2 \text{K s}^{-1} \text{kg}^{-1}$) 之间 (Holton et al., 1995; Hoinka, 1998; Dethof et al., 2000; Wernli
164 and Bourqui, 2002)，本文选取 $q_c = 1.5\text{PVU}$ 作为动力学对流层顶的判据。

3. 武汉暴雨期间的卫星轨道选取和对流穿透事件捕捉

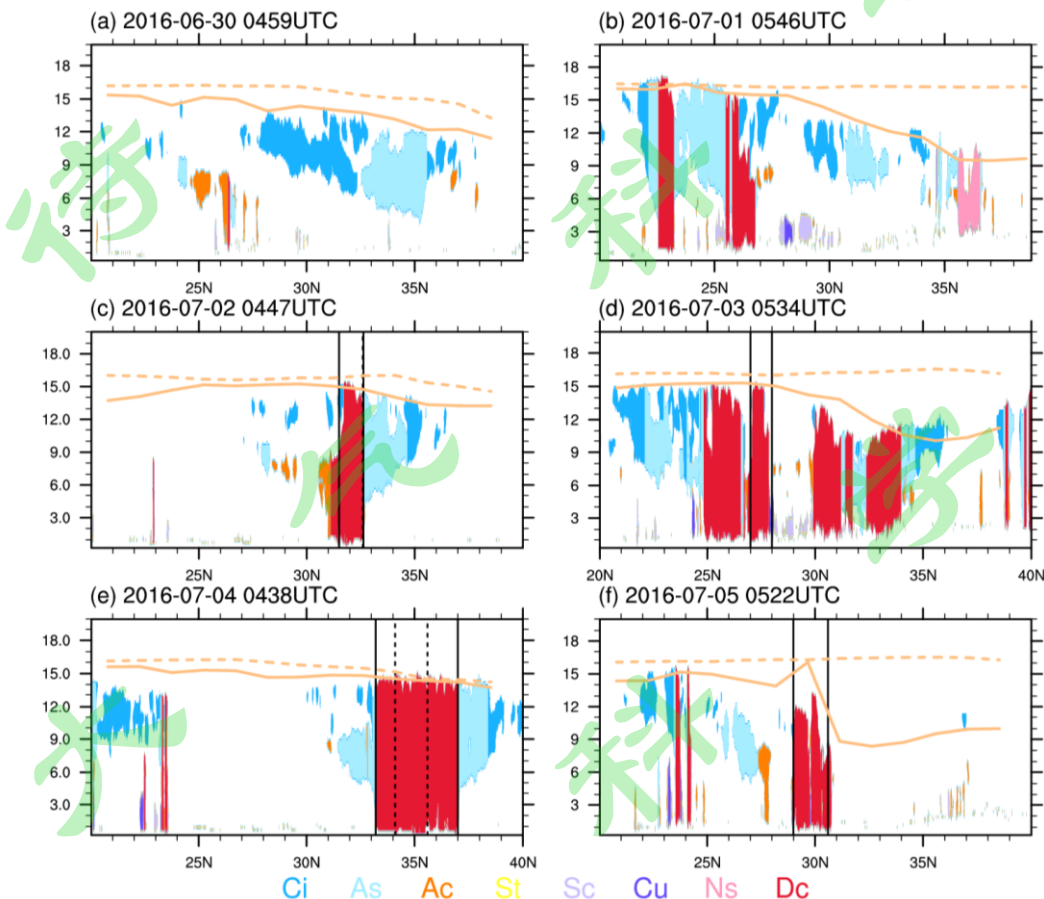


167 图1 上半部分(a1-f1): 6月30日至7月5日的卫星扫过时段的小时降水(单位: mm day^{-1})
 168 空间分布; 图中绿色直线表示的是 CloudSat 轨道分布。下半部分 (a2-f2) 为卫星轨道所揭示的
 169 CloudSat 雷达回波强度 (单位: dBz)。A1-f1 图中绿色直线表示的是 CloudSat 轨道分布。

170 **Fig. 1** Upper parts (a1-f1) in each panel: the spatial distributions of hourly Precipitation (units: mm day^{-1})
 171 and the orbits of CloudSat and AV (shown in green lines) from June 30th to July 5th; Lower part
 172 (a2-f2) in each panel: the vertical profiles of radar reflection based on the satellite orbits (units: dBz)
 173 from June 30th to July 5th.

174 发生于 2016 年 6 月 30 日 00 时 (UTC) 到 2016 年 7 月 6 日 6 时的武汉降水主
 175 雨带位于 $28\text{-}34^\circ\text{N}$, $107\text{-}121^\circ\text{E}$ 之间, 其时空演变如图 1 所示: 6 月 30 日 5 时降水雨
 176 带位于四川、重庆、陕西三省交界处; 至 7 月 1 日 6 时雨带已东移至梅雨雨带区域;
 177 7 月 2 日 5 时雨带位置与前一天一致但降水强度略弱; 7 月 3 日 6 时 120°E 以东的海
 178 上雨带开始北抬, 雨带倾斜程度加大; 7 月 4 日 5 时 115°E 以东的雨带继续北抬,
 179 而 114°E 以西的雨带南移, 雨带倾斜程度进一步增大; 至 7 月 6 日 5 时雨带已明显
 180 消退。我们借助降水中心的位置确定对流系统, 随后通过其与卫星轨道的重叠, 进

181 一步确定卫星轨道以及个例。在降水中心移动过程中，除了 7 月 3 日重叠的 CloudSat
 182 卫星轨道为 20679 外，其余 5 日的 CloudSat 卫星轨道均为 20678，MLS 数据轨道的
 183 选取与 CloudSat 卫星轨道一致。受卫星扫描时空分辨率的限制，卫星未经过武汉暴
 184 雨雨带降雨大值的中心区域，但是卫星依然扫描到几次强的深对流过程，如 7 月 2
 185 日和 4 日（图 1c 和 e）。

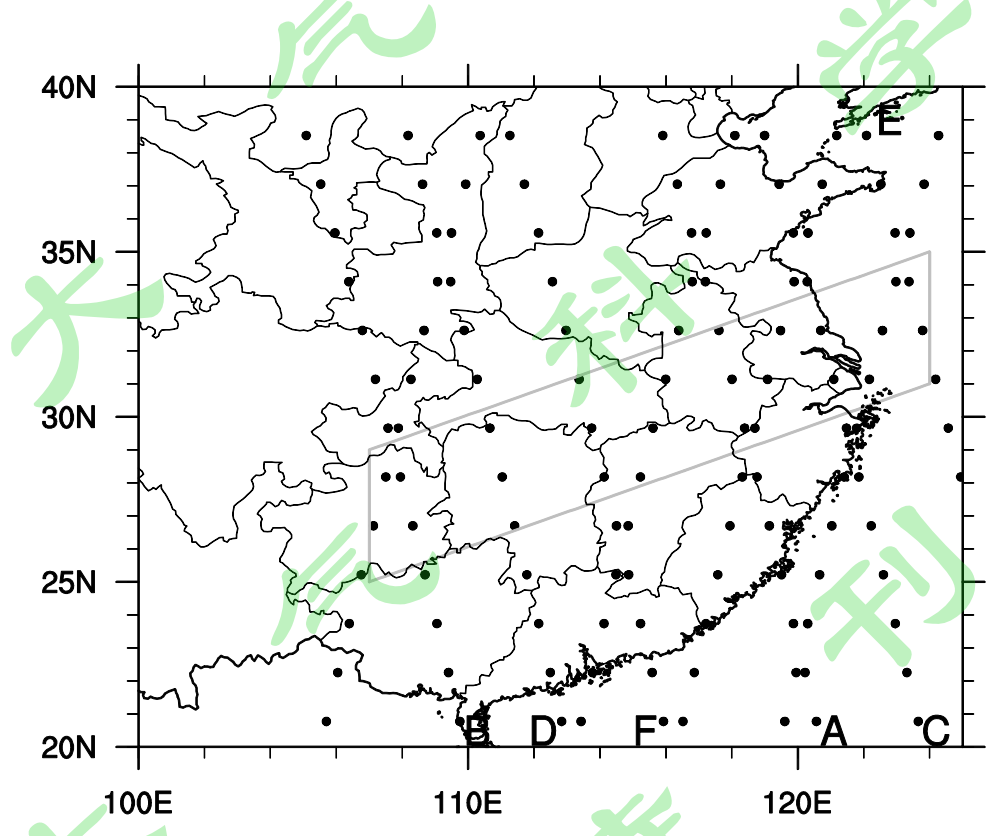


186
 187 图 2 (a) - (f) 分别表示 6 月 30 日至 7 月 5 日的 CloudSat 云类型分布图像。图中黑色实线
 188 之间区域表示的是降水主雨带区域。黑色虚线代表 MLS 扫过主雨带深对流云区的位置。红色表
 189 示深对流云 (Dc)，浅蓝色为高卷云 (As)，深蓝色为卷云 (Ci)，橙色为高积云 (Ac)，黄色为
 190 层云 (St)，淡紫色为层积云 (Sc)，深紫色为积云 (Cu)，粉色为积雨云 (Ns)。浅橙色实线代
 191 表动力学对流层顶高度；浅橙色虚线代表热力学对流层顶高度。

192 Fig. 2 (a)-(f) are the cross-sections of CloudSat cloud types (shown in different colors) along
 193 satellites orbits from June 30th to July 5th, respectively. The area between the black solid lines represents
 194 the main rain belt range. Black dashed lines indicated the position where MLS has swept over the deep
 195 convective clouds region over main rain belt. Red represents deep convective clouds (Dc), light blue is
 196 altostratus (As), dark blue is cirrus clouds (Ci), orange is altocumulus (Ac), yellow is stratus (St), light

197 purple is stratocumulus (Sc), dark purple is cumulus (Cu), and pink is nimbostratus (Ns). The orange
198 solid and dashed lines show the dynamic and thermodynamic tropopause height, respectively.

199 深对流活动中能穿透对流层顶的一部分称为穿透性对流（洗桃，2014）。参照热
200 力学和动力学对流层顶，可以从暴雨事件期间的沿轨道的深对流活动中分辨出穿透
201 性对流事件。图 2 展示了 6 月 30 日到 7 月 5 日沿卫星轨道方向各类型云的分布情况。
202 卫星共捕捉到两次深对流云顶高度高于 15km 的深对流事件。其中，7 月 2 日，沿卫
203 星轨道方向深对流云的覆盖区域位于陆地上（图 2c），空间范围为 31.5°N-32.6°N，
204 和雨带范围一致，深对流云的最大高度为 15.5km，和动力学对流层顶（15.3km）接
205 近，未能达到热力学对流层顶高度，不满足穿透性对流定义，记为深对流事件 A。7
206 月 4 日，深对流云的覆盖区域位于海洋上（图 2e），空间范围为 33.2°N-37°N，深对
207 流的最大高度为 15.2km，高于“动力学对流层顶”和“热力学对流层顶”（均为
208 14.7km），满足穿透性对流定义，记为穿透性深对流事件 B。



209
210 图 3 MLS 数据轨道分布图。A-F 分别代表为 6 月 30 日到 7 月 5 日的轨道分布。

211 Fig. 3 Orbital map in the MLS data. A-F stands for the Aura MLS orbit from June 30th to July 5th
212 respectively.

213 综上，在武汉暴雨过程中，卫星资料捕捉到一次穿透性对流事件，即7月4日
214 05时整的穿透性对流个例。后文将针对两次事件进行个例对比分析，以了解副热带
215 东亚季风区的穿透性对流事件对上对流层/下平流层物质分布的影响。

216 4. 穿透性对流活动引起的上对流层/下平流层成分变化

217 水汽混合比的变化受到动力输送以及深对流过程中随温度变化的微物理过程的
218 共同影响；臭氧的变化受到垂直动力输送影响但与深对流过程中随温度变化的微物
219 理过程无关；冰水含量则反应了大气中冰相水物质的含量，是大气上对流层/下平流
220 层水物质组成和变化的另一重要因素（易明建等，2012）。因此，本文选择以上三个
221 要素来表征穿透性对流及其垂直输送对下平流层大气成分的贡献。

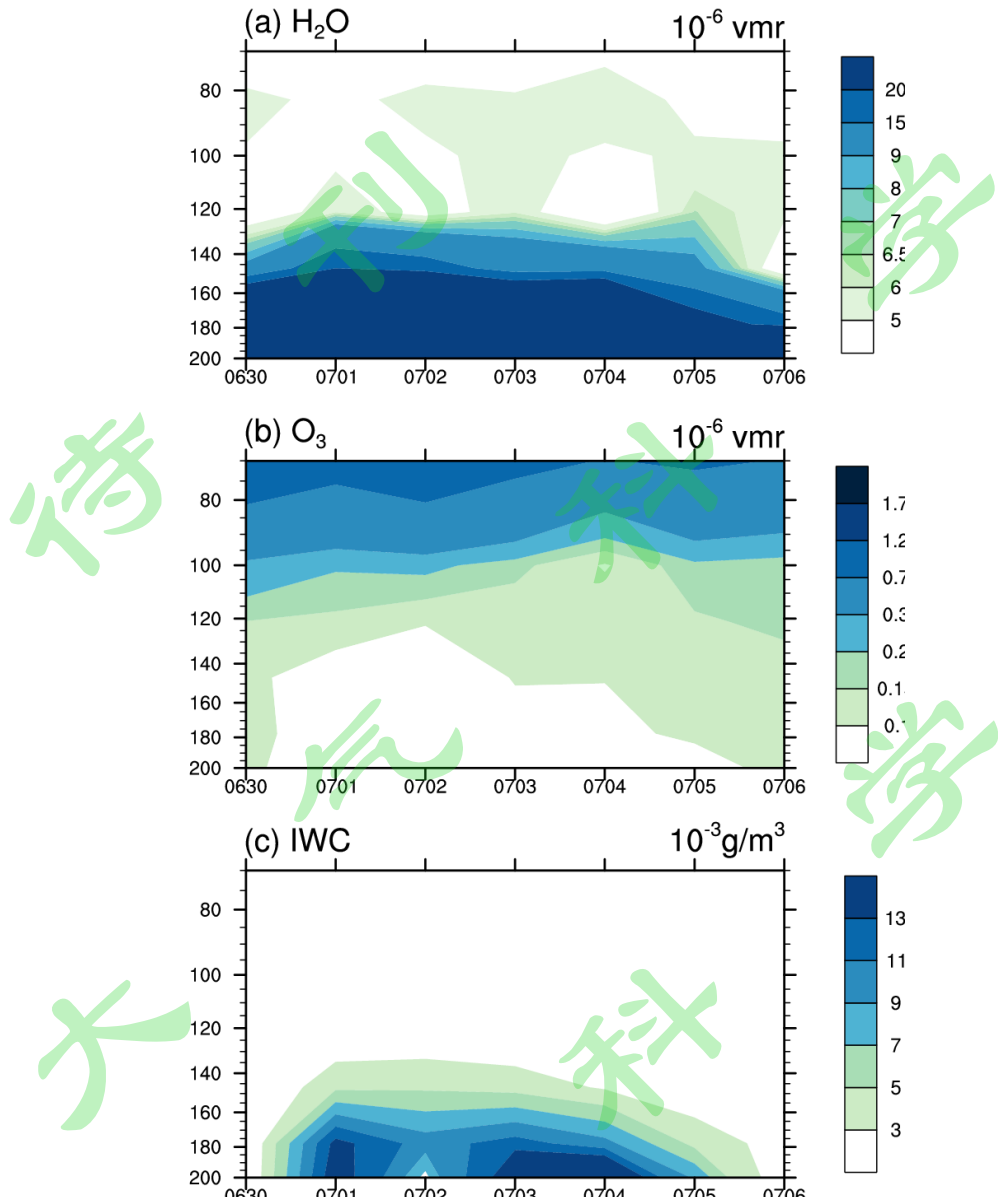
222 为了解武汉暴雨发生前后对流层顶附近各物质变化情况，图4给出了6月30
223 日至7月6日主雨带区域（图3中灰框标注区域）平均的水汽、臭氧、冰水含量的
224 时间演变情况。从7月1日，200-120hPa高度的臭氧混合比均开始下降，并在7月
225 5日降水结束后回升（图4b）。由于对流层臭氧混合比明显小于平流层，深对流在垂
226 直输送中将对流层中下层低臭氧混合比的空气带到上对流层/下平流层。与臭氧混合
227 比不同，150-120hPa高度上水汽混合比从7月1日开始增加，这种增加一直持续到
228 降水结束（7月6日）（图4a）。冰水含量于降水发生时（7月1日）开始增加，降
229 水结束（7月5日）后迅速减少（图4c）。水汽混合比和云冰含量对流层多于平流层，
230 穿透性对流在垂直输送中将对流层中下层水汽含量高的空气带至上对流层/下平流
231 层。臭氧、水汽混合比和云冰含量的变化表明这次武汉暴雨过程能够影响上对流层/
232 下平流层物质分布。

233

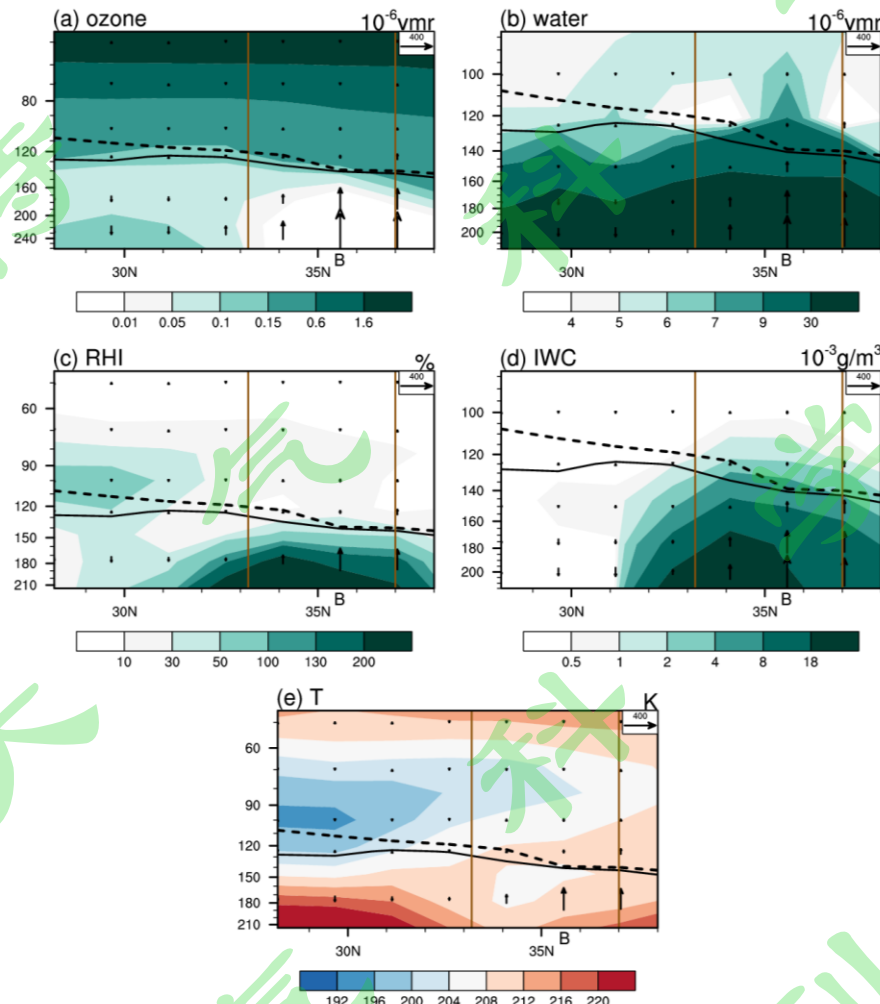
234 图 4 6月 30 日-7月 6 日间, 基于 MLS 数据的主雨带上空 (a) 水汽混合比 (单位: 10^{-6} vmr;
 235 volume mixing ratio), (b) 臭氧含量 (单位: 10^{-6} vmr), (c) 冰水含量 (单位: 10^{-3} g m^{-3}) 随时
 236 间的演变情况。其中, X 轴表示时间, Y 轴为各物质的含量。

237 **Fig. 4** From June 30th to July 6th, time evolutions of (a) the mixing ratio of water vapor (unit: 10^{-6}
 238 vmr; volume mixing ratio), (b) the ozone content (unit: 10^{-6} vmr), and (c) the ice water content (unit: 10^{-3}
 239 g m^{-3}) in the MLS data averaged over the main rain bands. Horizontal axis represents temporal
 240 evaluation and vertical axis represents the concentrations of three constituents.

241 为了进一步说明武汉暴雨事件中动力输送等过程对水汽、臭氧、冰水混合物等
 242 影响及其空间差异, 本文针对穿透性对流个例 B 重点分析。个例 B 发生于 7 月 4 日



243 05时，对流主体位于海上雨带。相比于事件A，其纬度更高，对流层顶高度较低，
 244 位于150-130hPa高度上。Aura卫星搭载的MLS探测器分别于05时08分16秒和
 245 05时09分20秒扫过其中的34.1°N, 123.37°E和35.6°N, 122.94°E两处，后者对流
 246 层顶高度更低（高度为140hPa）。综合考虑了对流层顶高度和深对流可达最大高度，
 247 35.6°N, 122.94°E位置满足穿透性对流定义，可用于进一步分析。

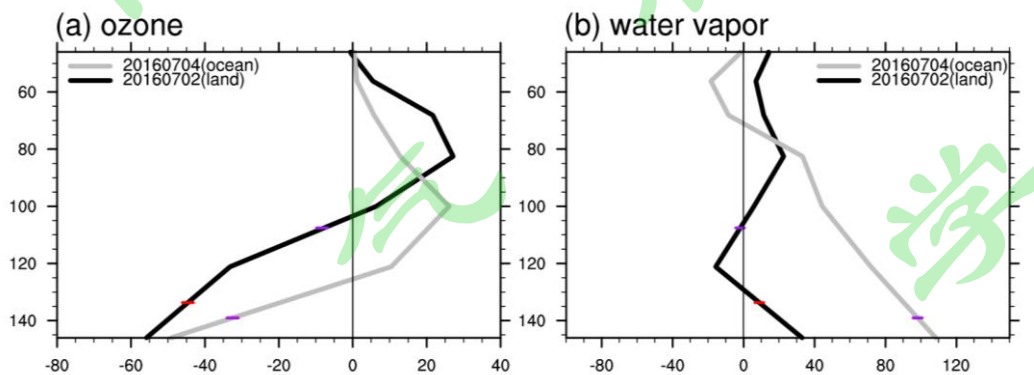


248
 249 图5 7月4日，沿轨道剖面的MLS数据的(a)臭氧(单位: 10^{-6} vmr)、(b)水汽混合比(单
 250 位: 10^{-6} vmr)、(c)相对于冰的相对湿度(单位: %)和(d)冰水含量分布(单位: 10^{-3} g m $^{-3}$)
 251 (e)温度(单位: K)。图中矢量代表垂直速度 ω (单位: 10^{-3} Pa s $^{-1}$)。橙色直线包围区域为深对
 252 流区域。黑色实线表示动力学对流层顶高度；黑色虚线表示热力学对流层顶高度。

253 Fig. 5 Distribution of (a) ozone (unit: 10^{-6} vmr), (b) water vapor mixing ratio (unit: 10^{-6} vmr), (c)
 254 relative humidity with respect to ice (unit: %) (d) ice water content (unit: 10^{-3} g m $^{-3}$) and (e) temperature
 255 (unit: K) in the MLS data along the orbit profile on July 4th. The black vectors indicates omega (unit:
 256 10^{-3} Pa s $^{-1}$). The area surrounded by orange lines is a deep convection area. The black solid and dashed

257 lines show the dynamic and thermodynamic tropopause height, respectively.

258 图 5 展示了 7 月 4 日上对流层/下平流层沿卫星轨道（图 3C 轨道）剖面的臭氧、
259 水汽混合比、冰水含量、温度分布。如图 5a 所示，在 240hPa-120hPa 高度处，对流
260 穿透区域的臭氧含量相对于卫星轨道南北两侧的非深对流区域明显偏少。考虑到对
261 流层低层的臭氧含量相对较少，对流引起的垂直输送将稀释局地对流层顶附近的臭
262 氧含量。该差异表明此次对流穿透能够影响对流层顶及以上的物质分布。在对流层
263 顶高度上，同该位置的气候态相比臭氧偏少了 32.53%（图 6a）。穿透性对流事件 B
264 对下平流层臭氧含量的影响明显强于深对流事件 A（图 6b，图 7a）。上述现象表明，
265 此次穿透性对流也实现了直接从对流层向平流层的质量输送。

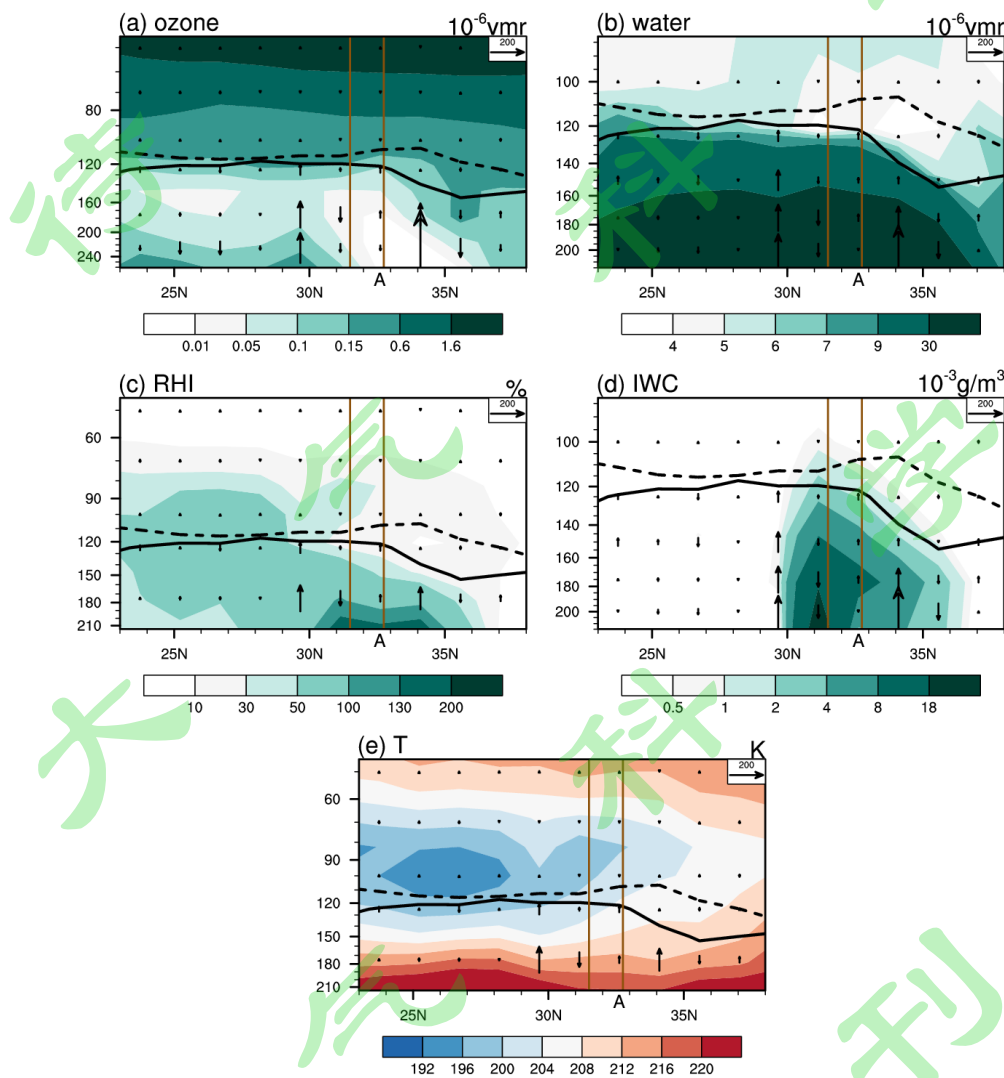


266
267 图 6 (a) MLS 数据中个例 A、B 中臭氧混合比异常（相对 2005-2012 年 6-7 月气候态）的
268 垂直廓线，(b) 同 (a) 但为水汽的分布。其中，水平坐标表示臭氧或水汽的含量（单位：%），
269 垂直坐标表示垂直气压层高度（单位：hPa）。黑色实线表示深对流事件 A，灰色实线表示的是穿
270 透性对流事件 B。红色实线代表动力学对流层顶高度；紫色实线代表热力学对流层顶高度。

271 **Fig. 6** (a) The vertical profile of water vapor mixing ratio anomalies (with respect to 2005-2016
272 June to July climatology) over overshooting deep convection regions in the MLS data. (b) Same as (a)
273 but the distribution of ozone. Horizontal axis represents concentrations of ozone or water vapor (unit: %),
274 vertical axis represents the pressure levels (unit: hPa). The black solid line indicates the deep convection
275 event A, and the gray solid line indicates the overshooting deep convection event B. The red and purple
276 short solid lines indicate the dynamic and thermodynamic tropopause height, respectively.

277 这次事件对流穿透位置处的水汽的变化较臭氧变化更加显著。伴随着这次深对
278 流事件，对流层的水汽被直接输送到平流层，使上对流层/下平流层水汽含量增加。
279 空间上，与沿轨道方向南北两侧非对流区域相比，对流区域 140hPa-120hPa 的水汽
280 混合比明显更多（图 5b）。时间上，这次海上深对流事件引起水汽混合比在对流层

281 顶高度上 (139.06 hPa) 较气候态偏多了 98.15%。穿透性对流事件 B 强烈影响上对
 282 流层/下平流层水汽分布, 其影响远强于深对流事件 A (图 6b, 图 7b)。由于穿透性
 283 对流个例 B 对流层顶附近温度更高 (图 5e, 图 7e), 环境大气的饱和水汽压更高,
 284 更有利于对流层的水汽进入平流层。故这次事件显著增强了局地上对流层/下平流层
 285 的水汽混合比。



286
 287 图 7 7月 2 日, 沿轨道剖面的 MLS 数据的 (a) 臭氧 (单位: 10^{-6} vmr)、(b) 水汽混合比 (单
 288 位: 10^{-6} vmr), (c) 相对于冰的相对湿度冰水含量 (单位: %), (d) 冰水含量 (单位: 10^{-3} g m⁻³)
 289 和 (e) 温度分布 (单位: K)。图中矢量代表垂直速度 ω (单位: 10^{-3} Pa s⁻¹), 橙色直线包围区域
 290 为深对流区域。黑色实线表示动力学对流层顶高度; 黑色虚线表示热力学对流层顶高度。

291 **Fig. 7** Cross-sections of (a) ozone (unit: 10^{-6} vmr), (b) water vapor mixing ratio (unit: 10^{-6} vmr), (c)
 292 relative humidity with respect to ice (unit: %), (d) ice water content (unit: 10^{-3} g m⁻³) and (e) temperature

293 (unit: K) in the MLS data along the orbit on July 2nd. The black vectors indicate omega (unit: 10^{-3} Pa s $^{-1}$).
294 The area surrounded by orange lines shows deep convection area. The black solid and dashed lines show
295 the dynamic and thermodynamic tropopause height, respectively.

296 相对于冰的相对湿度高于 130% (Jensen et al., 2007) 的过饱和区，主要集中在
297 深对流区域上空 150hPa 气压高度以下的上对流层区域(图 5c)。在对流层顶高度上，
298 由于深对流位置处对应的相对于冰的相对湿度小于 50%，达不到过饱和条件，故在
299 该高度上水汽不易凝结。

300 这次穿透性对流事件对流层顶附近，冰水含量存在于深对流主体区域(图 5d，
301 图 7d)。相较于深对流个例 A，穿透性对流个例 B 在对流层顶附近垂直速度很强，
302 大于 10 m s $^{-1}$ 。Chemel et al. (2009) 指出较强的垂直速度更有利于水物质凇化，产
303 生更强的云冰异常中心。由于对流层顶附近大气相对于冰的相对湿度不饱和，生成
304 的冰粒子不易掉落，继续留在平流层低层，故可以通过蒸发加湿大气 (Vömel et al.
305 1995; Grosvenor et al. 2007; Jensen et al., 2007)。此外，由于穿透性对流个例 B 对流层
306 顶附近环境温度相对个例 A 更高(图 5e)，有利于云冰蒸发加湿大气。

307 综上，对比普通深对流事件 A，穿透性对流事件 B 能够影响下平流层的物质分
308 布，使得下平流层水汽含量增加，臭氧含量减少。对流层水汽到达下平流层后可以
309 随着季风反气旋水平输送到其他区域。副热带深对流事件对于上对流层/下平流层的
310 臭氧、水汽等物质分布的影响不可忽视。

311 5. 总结和讨论

312 南亚季风区的深对流活动在上对流层/下平流层水汽和物质交换中的重要作用
313 已经被大量的研究工作所证实，但是关于东亚季风区深对流活动在上对流层/下平流
314 层水汽和物质交换中的作用，目前尚不清楚。本文利用 CloudSat 和 Aura MLS 卫星
315 数据，结合地面观测资料和再分析数据，通过个例分析，证实了东亚夏季风区域内
316 穿透性对流的存在，比较了穿透性对流发生时上对流层/下平流层各成分的变化，证
317 明了东亚季风区内穿透性对流活动对下平流层水汽等气象要素分布的影响。主要结
318 论如下：

319 利用 CloudSat 和 Aura MLS 卫星资料，针对 2016 年 6 月 30 日 00 时 (UTC) 到
320 7 月 6 日 6 时的武汉暴雨过程，捕捉到这期间发生的 1 次穿透性对流过程，即发生

321 于 7 月 4 日 05 时整的穿透性对流个例 B。个例分析表明：

322 (1) 副热带东亚季风区穿透性对流活动（个例 B）能够造成下平流层 O₃ 含量减
323 少，与气候态相比对流层顶高度处臭氧混合比偏少了 32.53%。可见，对流穿透活动
324 的动力输送能够影响对流层顶以上的物质成分变化。

325 (2) 副热带东亚季风区穿透性对流活动能够造成下平流层水汽混合比增加。穿透
326 性对流（个例 B）能够显著影响对流层顶以上的水汽混合比变化，与气候态相比对
327 流层顶高度处的水汽含量偏多了 98.15%。导致个例 B 中水汽含量明显增多的原因有
328 二：一是穿透性对流事件直接将水汽输送到平流层，个例 B 对流层顶附近温度高，
329 大气的饱和水汽压更高，有利于垂直水汽输送；二是穿透性对流事件能够通过将冰
330 粒子输送到平流层，增强平流层云冰含量，部分云冰蒸发后造成平流层湿度增加。
331 由于此次穿透性对流事件对流层顶高度附近相对于冰的相对湿度均小于 50%，都达
332 不到过饱和条件，故到达对流层顶高度附近后水汽不易凝结掉落。因此，到达平流
333 层的冰粒子可以通过蒸发过程来湿润平流层。而个例 B 产生的云冰异常明显强于个
334 例 A，对流层顶附近温度更高，因而存在更强的加湿效果。

335 (3) 穿透性对流事件 B 与深对流事件 A 都强烈影响上对流层/下平流层物质分
336 布。但穿透性对流事件 B 可以影响对流层顶以上的下平流层的物质分布，而深对流
337 事件 A 对下平流层的物质分布的影响较小。

338 副热带地区不同于热带地区，对流层顶高度更低，穿透性对流发生的门槛高度
339 也更低。受夏季风环流影响，东亚地区深对流活动频繁，本文基于个例分析证明了
340 副热带东亚季风区的穿透性对流活动能够将对流层物质输送到平流层。此外，需要
341 注意的是穿透性对流事件对臭氧含量的影响有别于对水汽含量的影响，后者同时会
342 受到与温度相关的云微物理过程的影响，具体机制还有待明晰。关于副热带地区穿
343 越性对流的特征全貌、其发生频率和强度的年际变化、它与热带地区和热带气旋内
344 的穿越性对流的异同点等问题，还有待通过更多的个例分析来加以揭示。副热带穿
345 透性对流活动对平流层低层物质分布的影响和机制问题，是大气科学领域未来亟待
346 加强的一个研究方向。

348 参考文献 (References)

- 349 Bergman J W, Fierli F, Jensen E J, et al. 2013. Boundary layer sources for the Asian anticyclone:
 350 Regional contributions to a vertical conduit. *J. Geophys. Res. Atmos.*, 118, 2560–2575,
 351 doi:10.1002/jgrd.50142.
- 352 卞建春, 严仁端, 陈洪滨. 2011. 亚洲夏季风是低层污染物进入平流层的重要途径. *大气科学*,
 353 35(5): 897-902. Bian Jianchun, YanRenchang, Chen Hongbin. 2011. Tropospheric pollutant
 354 transport to the stratosphere by Asian summer monsoon [J]. *Chinese Journal of Atmospheric
 355 Sciences (in Chinese)*, 35 (5): 897–902.
- 356 Chaboureau J, Cammas J P, Duron J, et al. 2007. A numerical study of tropical cross-tropopause
 357 transport by convective overshoots. *Atmos. Chem. Phys.*, 7, 1731-1740.
- 358 Chemel C, Russo M R, Pyle J A, et al. 2009. Quantifying the imprint of a severe hector thunderstorm
 359 during ACTIVE/SCOUT-O3 onto the water content in the upper troposphere/lower stratosphere.
 360 *Monthly weather review*, 137, 2493-2514.
- 361 陈洪滨, 卞建春, 吕达仁. 2006. 上对流层下平流层交换过程研究的进展与展望 [J]. *大气科
 362 学*, 30 (5) :813-820. Chen Hongbin, Bian Jianchun, Lü Daren. 2006. Advances and prospects in
 363 the study of stratosphere-troposphere exchange [J]. *Chinese Journal of Atmospheric Sciences (in
 364 Chinese)*, 2006, 30 (5): 813–820.
- 365 Corti T, Luo B, Fu Q, et al. 2006: The impact of cirrus clouds on tropical troposphere-to-stratosphere
 366 transport. *Atmospheric Chemistry and Physics*, 6, 2539-2547.
- 367 Corti T, Luo B P, de Reus M. 2008. Unprecedented evidence for deep convection hydrating the tropical
 368 stratosphere. *Geophysical Research Letters*, 35.
- 369 Danielsen E. 1993. In situ evidence of rapid, vertical, irreversible transport of lower tropospheric air into
 370 the lower tropical stratosphere by convective cloud turrets and by larger-scale upwelling in tropical
 371 cyclones. *J. Geophys. Res.*, 98, 8665-8681.
- 372 Dee D P, Uppala S, Simmons A, et al. 2011. The ERA-Interim reanalysis: configuration and
 373 performance of the data assimilation system. *Q. J. R. Meteorol. Soc.* 137: 553–828.
- 374 Dessler A E, Sherwood S C. 2004. Effect of convection on the summertime extratropical lower

- 375 stratosphere. *J. Geophys. Res.*, 109, D23301, doi: 10.1029/2004JD005209.
- 376 Dethof A, O'Neill A, Slingo J. 2000. Quantification of the is entropic mass transport across the
377 dynamical tropopause. *J. Geophys. Res.*, 105(D10), 12,279–12,293, doi:10.1029/2000JD900127.
- 378 Devasthale A, Fueglistaler S. 2010. A climatological perspective of deep convection penetrating the TTL
379 during the Indian summer monsoon from the AVHRR and MODIS instruments [J]. *Atmos. Chem.*
380 *Phys.*, 10, 4573–4582, doi:10.5194/acp-10-4573-2010.
- 381 Folkins I, Martin R. 2005. The vertical structure of tropical convection and its impact on the budgets of
382 water vapor and ozone. *J. Atmos. Sci.*, 62, 1560-1573.
- 383 Forster P M d F, Shine K. 2002. Assessing the climate impact of trends in stratospheric water vapor.
384 *Geophysical research letters*, 29, 10-11-10-14.
- 385 Fu R, Hu Y, Wright J S, et al. 2006. Convective transport over the Tibetan Plateau—A short-circuit of
386 water vapor and polluted air to the global stratosphere. *Proc. Natl. Acad. Sci. U.S.A.*, 103,
387 5664–5669, doi:10.1073/pnas.0601584103.
- 388 傅云飞, 张爱民, 刘勇, 等. 2008. 基于星载测雨雷达探测的亚洲对流和层云降水季尺度特征分析
389 [J]. *气象学报*, 66 (5): 730 – 746. Fu Yunfei, Zhang Aimin, Liu Yong, et al. 2008. Characteristics of
390 seasonal scale convective and stratiform precipitation in Asia based on measurements by TRMM
391 Precipitation Radar [J]. *Acta Meteorologica Sinica* (in Chinese), 66 (5): 730–746.
- 392 Fueglistaler S, Haynes P H. 2005. Control of interannual and longer-term variability of stratospheric
393 water vapor. *J. Geophys. Res.*, 110, D24108, doi: 10.1029/2005JD006019.
- 394 Gettelman A, Kinnison D E, Dunkerton T J, et al. 2004. Impact of monsoon circulations on the upper
395 troposphere and lower stratosphere. *J. Geophys. Res.*, 109, D22101, doi: 10.1029/2004JD004878.
- 396 Graeme L S, Deborah G V, Simone T, et al. 2008. CloudSat mission: Performance and early science
397 after the first year of operation [J]. *J Geophys. Res.*, 113: D00A18, doi: 10.1029/2008JD009982.
- 398 Grosvenor D, Choularton H, Coe H, et al. 2007. A study of the effect of overshooting deep convection
399 on the water content of the TTL and lower stratosphere from cloud resolving model simulations.
400 *Atmos. Chem. Phys.*, 7, 4977-5002.
- 401 Highwood E J, Hoskins B J. 1998. The tropical tropopause. *Q. J. R. Meterol. Soc.*, 124, 1579– 1604.
- 402 Holton J R, Gettelman A. 2001. Horizontal transport and the dehydration of the stratosphere [J].
403 *Geophys. Res. Lett.*, 28, 2799-2802.
- 404 Hoinka K P. 1998. Statistics of the global tropopause pressure. *Monthly Weather Review*, 126,

- 405 3303-3325.
- 406 Holton J R, Haynes P H, McIntyre M E, et al. 1995. Stratosphere-troposphere exchange. Rev. Geophys.,
407 33, 403 – 439.
- 408 Hurst D F, Lambert A, Read W G, et al. 2014. Validation of Aura Microwave Limb Sounder
409 stratospheric water vapor measurements by the NOAA frost point hygrometer. J. Geophys. Res.
410 Atmos., 119, 1612–1625, doi:10.1002/2013JD020757.
- 411 James R, Bonazzola M, Legras B, et al. 2008. Water vapor transport and dehydration above convective
412 outflow during Asian monsoon. Geophys. Res. Lett., 35, L20810, doi: 10.1029/2008GL035441.
- 413 Jensen E, Pfister L. 2004. Transport and freeze-drying in the tropical tropopause. J. Geophys. Res., 109,
414 D02207, doi: 10.1029/2003JD004022.
- 415 Jensen E, Ackerman A, Smith J. 2007. Can overshooting convection dehydrate the tropical tropopause
416 layer? Journal of Geophysical Research: Atmospheres, 112.
- 417 Khaykin S, Pommereau J, Korshunov L. 2009: Hydration of the lower stratosphere by ice crystal
418 geysers over land convective systems. *Atmospheric Chemistry and Physics*, 9, 2275-2287.
- 419 Konopka P, GrooB J U, Gnther G, et al. 2010. Annual cycle of ozone at and above the tropical
420 tropopause: Observation s versus simulations with the Chemical Lagrangian Model of the
421 Stratosphere (CLaMS) [J]. Atmos. Chem. Phys., 10, 121-132, doi: 10.5194/acp-10-121-2010.
- 422 Lambert A, Read W G, Livesey N J, et al. 2007. Validation of the Aura Microwave Limb Sounder
423 middle atmosphere water vapor and nitrous oxide measurements. J. Geophys. Res., 112, D24S36,
424 doi:10.1029/2007JD008724.
- 425 Lane T P, Reeder M J, Clark T L. 2001. Numerical modeling of gravity wave generation by deep tropical
426 convection [J]. Journal of the Atmospheric Sciences, 58(10): 1249-1321.
- 427 Li Q, Jian g J H, Wu D L, et al. 2005. Convective outflow of South Asian pollution: A global CTM
428 simulation compared with EOS M LS observations [J]. Geophys. Res. Lett., 32, L14826, doi :101
429 1029/ 2005GL022762.
- 430 刘鹏, 傅云飞. 2010. 利用星载测雨雷达探测结果对夏季中国南方对流和层云降水气候特征的分
431 析 [J]. 大气科学, 34 (4): 802 – 814. Liu Peng, Fu Yunfei. 2010. Climatic characteristics of
432 summer convective and stratiform precipitation in southern China based on measurements by
433 TRMM precipitation radar [J]. Chinese Journal of Atmospheric Sciences (in Chinese), 34 (4):
434 802–814.

- 435 Livesey N J, Filipiak M J, Froidevaux L, et al. 2008. Validation of Aura Microwave Limb Sounder O3
436 and CO observations in the upper troposphere and lower stratosphere. *J. Geophys. Res.*, 113,
437 D15S02, doi:10.1029/2007JD008805.
- 438 Livesey N J, Read W G, Wagner P A, et al. 2011. EOS MLS version 3.3 level 2 data quality and
439 description document. Tech. Rep., Jet Propul. Lab., Calif. Inst. of Technol., Pasadena, Calif.
- 440 Livesey N J, Read W G, Wagner P A, et al. 2015. Version 4.2x Level2 data quality and description
441 document. Tech. Rep. JPL D-33509, NASA Jet Propulsion Laboratory, version 4.2x-1.0.
- 442 Kunze M, Braesicke P, Langematz U, et al. 2016. Interannual variability of the boreal summer tropical
443 UTLS in observations and CCMVal-2 simulations. *Atmos. Chem. Phys.*, 16, 8695–8714, 2016,
444 doi:10.5194/acp-16-8695-2016.
- 445 马占山, 刘奇俊, 秦琰琰, 等. 云探测卫星 CloudSat[J]. 气象, 2008, 34(8):104—112. Ma Zhanshan,
446 Liu Qijun, Qin Yanyan, et al. 2008. Introductions to a new type cloud detecting satellite—CloudSat
447 [J]. Meteorological Monthly (in Chinese), 34 (8): 104 – 111.
- 448 Milz M, von Clarmann T, Fischer H, et al. 2005. Water vapor distributions measured with the Michelson
449 Interferometer for Passive Atmospheric Sounding on board Envisat (MIPAS/Envisat). *J. Geophys.*
450 *Res.*, 110, D24307, doi: 10.1029/2005JD005973.
- 451 潘旸, 沈艳, 宇婧婧, 等. 2012. 基于最优插值方法分析的中国区域地面观测与卫星反演逐时降水
452 融合试验 [J]. 气象学报, 70 (6): 1381 – 1389. Pan Yang, Shen Yan, Yu Jingjing, et al. 2012.
453 Analysis of the combined gauge-satellite hourly precipitation over China based on the OI technique
454 [J]. *Acta Meteor. Sinica* (in Chinese), 70 (6): 1381–1389, doi:10.11676/qxxb2012.116.
- 455 Park M, Randel W J, Gettelman A, et al. 2007. Transport above the Asian summer monsoon anticyclone
456 inferred from Aura Microwave Limb Sounder tracers. *J. Geophys. Res.*, 112, D16309, doi:
457 10.1029/2006JD008294.
- 458 Ploeger F, Günther G, Konopka P, et al. 2013. Horizontal water vapor transport in the lower stratosphere
459 from subtropics to high latitudes during boreal summer. *J. Geophys. Res. Atmos.*, 118, 8111–8127,
460 doi:10.1002/jgrd.50636.
- 461 Randel W J, Gettelman A, Wu F, et al. 2001. Seasonal variation of water vapor in the lower stratosphere
462 observed in Halogen Occultation Experiment data. *J. Geophys. Res.*, 106, 14,313–14,325, doi:
463 10.1029/2001JD900048.
- 464 Randel W J, Park M. 2006. Deep convective influence on the Asian summer monsoon anticyclone and

- 465 associated tracer variability observed with Atmospheric Infrared Sounder (AIRS). *J. Geophys. Res.*,
466 111, D12314, doi: 10.1029/2005JD006490.
- 467 Randel W J, Zhang K, Fu R. 2015. What controls stratospheric water vapor in the NH summer monsoon
468 regions? *J. Geophys. Res. Atmos.*, 120, 7988–8001, doi: 10.1002/2015JD023622.
- 469 Read W, Wu D, Waters J, et al. 2004. Dehydration in the tropical tropopause layer: Implications from the
470 UARS Microwave Limb Sounder. *Journal of Geophysical Research: Atmospheres*, 109.
- 471 Read W G, Lambert A, Bacmeister J, et al. 2007. Aura Microwave Limb Sounder upper tropospheric
472 and lower stratospheric H₂O and relative humidity with respect to ice validation. *J. Geophys. Res.*,
473 112, D24S35, doi:10.1029/2007JD008752.
- 474 Rosenlof K H, Tuck A F, Kelly K K, et al. 1997. Hemispheric asymmetries in water vapor and
475 inferences about transport in the lower stratosphere. *J. Geophys. Res.*, 102, 13,213–13,234, doi:
476 10.1029/97JD00873.
- 477 Sassen K, Wang Z. 2008. Classifying clouds around the globe with the CloudSat radar: 1-year of results.
478 *Geophys. Res. Lett.*, 35, L04805, doi:10.1029/2007GL032591.
- 479 Shen Y, Zhao P, Pan Y, et al. 2014. A high spatiotemporal gauge-satellite merged precipitation analysis
480 over China, *J. Geophys. Res. Atmos.*, 119, 3063–3075, doi:10.1002/2013JD020686.
- 481 Sherwood S C, Dessler A E, 2001. A model for transport across the tropical tropopause. *J. Atmos. Sci.*,
482 58, 765-779.
- 483 Simmons A J, Uppala S, Dee D, et al. 2007. ERA Interim: new ECMWF reanalysis products from 1989
484 onwards *ECMWF Newsl.* 110 25–35.
- 485 Solomon S. 1999. Stratospheric ozone depletion: A review of concepts and history. *Reviews of
486 Geophysics*, 37, 275-316.
- 487 Stephens G L, Vane D G, Boain R, et al. 2002. The CloudSat mission and the A-Train: A new dimension
488 of space-based observations of clouds and precipitation. *Bulletin of the American Meteorological
489 Society*, 83, 1771-1790.
- 490 Vömel H, Oltmans S J, Kley D, et al. 1995. New evidence for the stratospheric dehydration mechanism
491 in the equatorial Pacific. *Geophys. Res. Lett.*, 22, 3235–3238.
- 492 Wang P K, Setvak M, Lyons W, et al. 2009. Further evidences of deep convective vertical transport of
493 water vapor through the tropopause [J]. *Atmospheric Research*, 94(3): 400-408.
- 494 Wang P K. 2003. Moisture plumes above thunderstorm anvils and their contributions to cross tropopause

- 495 transport of water vapor in midlatitudes [J]. Journal of Geophysical Research, 108(D6), 4194. Doi:
496 10.1029/2002JD002581.
- 497 Wernli H, Bourqui M. 2002. A Lagrangian “1-year climatology” of (deep) cross-tropopause exchange in
498 the extratropical Northern Hemisphere. J. Geophys. Res., 107, 4021, 10.1029/2001JD000812.
- 499 World Meteorological Organization. Atmospheric ozone 1985. Global ozone research and monitoring rep
500 [R]. WMO Rep, 1986(16):392
- 501 Wright J S, Fu R, Fueglistaler S, et al. 2011. The influence of summertime convection over Southeast
502 Asia on water vapor in the tropical stratosphere. J. Geophys. Res., 116, D12302, doi:
503 10.1029/2010JD015416.
- 504 洗桃. 2014. 穿透性对流活动特征及其对上对流层/下平流层臭氧分布的影响[D]. 中国科学技术大
505 学. Xian Tao. 2014. Characteristics of penetrating convection and impacts on ozone variation in the
506 UTLS [D]. University of Science and Technology of China.
- 507 Yasunari T, Miwa T. 2006. Convective cloud systems over the Tibetan Plateau and their impact on
508 meso-scale disturbances in the Meiyu/Baiu frontal zone. J. Meteor. Soc. Japan, 87, 783–803.
- 509 易明建, 傅云飞, 刘鹏, 等. 2012. 我国东部夏季一次强对流活动过程中对流层上部大气成分变
510 化的分析 [J]. 大气科学, 36 (5): 901-911, doi:10.3878/j.issn. 1006-9895.2012. 11124. Yi
511 Mingjian, Fu Yunfei, Liu Peng, et al. 2012. Analysis of the variation of atmospheric composition in
512 the upper troposphere during a strong convection in eastern China in summer [J]. Chinese Journal
513 of Atmospheric Sciences (in Chinese), 36 (5): 901-911.
- 514 占瑞芬, 李建平. 2012. 亚洲夏季平流层一对流层水汽交换年际变化与亚洲夏季风的联系. 地球
515 物理学报, 55(10): 3181-3193, doi: 10.6038/j. issn. 0001-5733, 2012. 10. 001. Zhan Ruifen. Li
516 Jian ping. 2012. Relationship of interannual variations of the stratosphere-troposphere exchange of
517 water vapor with the Asian summer monsoon. Chinese J. Geophys. (in Chinese), 55(10):
518 3181-3193, doi:10.6038/j.issn.0001-5733.
- 519 Zhan R, Wang Y. 2012. Contribution of tropical cyclones to stratosphere-troposphere exchange over the
520 Northwest Pacific: An estimation based on AIRS and reanalysis. J. Geophys. Res., 117, D12112,
521 doi:10.1029/2012JD017494.
- 522 张端禹, 崔春光, 廖移山. 武汉市一次对流梅雨暴雨过程诊断分析[J]. 气象科技, 2018(3). Zhang
523 Duanyu, Cui Chunguang, Liao Yishan. Diagnostic analysis of a convective Meiyu rainstorm in
524 Wuhan. Meteorological Science and Technology (in Chinese), 2018(3).

525 Zhou C, Wang K, Qi D. 2018. Attribution of the July 2016 Extreme Precipitation Event Over China's
526 Wuhan. Bulletin of the American Meteorological Society, 99, S107-S112.
527
528

